

**PONTIFICIA UNIVERSIDAD CATÓLICA DEL PERÚ**  
**FACULTAD DE CIENCIAS E INGENIERÍA**

**IEE239 - PROCESAMIENTO DE SEÑALES E IMÁGENES DIGITALES**

**Examen 2**  
**(Segundo semestre 2017)**

**Indicaciones generales:**

- Duración: 3 horas.
- **La evaluación es estrictamente personal.**
- Está permitido el uso de tablas de transformadas y calculadoras **no programables**.
- Indicar claramente el procedimiento seguido en cada pregunta.
- La presentación, la ortografía y la gramática influirán en la calificación.

Puntaje total: 20 puntos

**Cuestionario:**

**Pregunta 1** (4 puntos)

- a) Dada la DTFT 2D  $H(\omega_x, \omega_y)$ , demostrar que su versión discretizada  $H(u, v)$  para  $M = N = 16$  cumple con la siguiente condición:

$$H(\omega_x, \omega_y) = \begin{cases} 1, & |\omega_x| \leq \frac{\pi}{8}, \quad |\omega_y| \leq \frac{\pi}{8}; \\ 0, & \text{otros casos} \end{cases}$$

$$h(x, y) = F^{-1}\{H(u, v)\} = \frac{1}{256} \left[ 1 + 2 \cos\left(\frac{\pi}{8} x\right) \right] \left[ 1 + 2 \cos\left(\frac{\pi}{8} y\right) \right].$$

- b) Dada la máscara  $r(x, y)$ , determinar su respuesta ante la imagen  $f(x, y)$ . Mostrar claramente su procedimiento:

$$r(x, y) = h(x, y) \cdot \sin\left(\frac{\pi}{2} x\right); \quad f(x, y) = \cos\left(\frac{\pi}{2} x\right).$$

**Pregunta 2** (4 puntos)

- a) Dada la señal 2D de dominio continuo  $f_c(s, t)$ , determinar su versión discreta  $f(x, y) = f_c(x \cdot \Delta s, y \cdot \Delta t)$ , para  $x \in \{-1, -0, \dots, 2\}$ ,  $y \in \{-1, 0, \dots, 2\}$ , asumiendo una resolución de intensidad de 8 bits y los siguientes **periodos de muestreo**.

$$f_c(s, t) = 2^7 + 3.5 \cdot \sin(200\pi \cdot s + 100\pi \cdot t) \quad \Delta s = 2.5 \cdot 10^{-3}; \Delta t = 2 \cdot 10^{-3}.$$

- b) Aplicar el método de Umbralización de Otsu a la imagen  $f(x, y)$  y mostrar la imagen resultante.

**Pregunta 3** (4 puntos)

Dada la imagen  $f(x, y)$  descrita en la Figura 1 y la transformación de intensidad  $T$ :

(x,y)	0	1	2	3	4	5	6	7	8	9
0	65	228	152	202	195	222	241	238	174	133
1	240	168	63	0	255	192	16	62	134	209
2	203	196	19	128	255	16	192	107	62	164
3	148	139	7	64	16	0	128	27	152	196
4	153	142	236	128	64	16	0	170	144	216
5	52	17	199	238	134	179	174	208	154	63
6	95	86	118	78	73	84	2	4	19	68
7	105	63	88	126	107	93	15	78	24	57

Figura 1: Imagen de interés  $f(x, y)$ .

$$T\{f(x, y)\} = \frac{255}{1 + \exp\left[-12\left(\frac{f(x, y)}{255} - \frac{1}{2}\right)\right]}.$$

- a) **Asumiendo resolución de intensidad de 8 bits**, aplicar la transformación para la subregión  $x \in \{1, 2, 3, 4\}$ ,  $y \in \{3, 4, 5, 6\}$  de la imagen de interés. Cuál es su efecto en el contraste de la imagen?
- b) **Asumiendo resolución de intensidad de 8 bits**, determinar el Bit-plane (BP) más significativo de la imagen de interés. Luego, determinar la siguiente operación morfológica para la subregión  $x \in \{3, 4, 5, 6\}$ ,  $y \in \{0, 1, \dots, 9\}$ .

$$G = (BP \ominus H) \oplus H; \quad H(x, y) = \begin{pmatrix} 0 & 0 & 0 \\ 0 & 1 & 1 \\ 0 & 1 & 1 \end{pmatrix}.$$

**Pregunta 4** (4 puntos)

- a) Dado el sistema  $T$  y la máscara  $h(x, y)$ , determinar la respuesta del sistema ante las imágenes  $\alpha(x, y)$  y  $\beta(x, y)$ . Se trata de un sistema lineal e invariante ante desplazamientos? Justificar claramente su respuesta.

$$T\{f(x, y)\} = \sum_{m=-\infty}^{+\infty} \sum_{n=-\infty}^{+\infty} f(m, n) \cdot h(x-2m, y-2n); \quad h(x, y) = \begin{pmatrix} 1 & 1 & 1 \\ 1 & -8 & 1 \\ 1 & 1 & 1 \end{pmatrix};$$

$$\alpha(x, y) = \delta(x-1, y-1); \quad \beta(x, y) = \delta(x-2, y-2).$$

- b) Dada  $F_1(u, v)$ , la DFT 2D de  $f_1(x, y)$  para  $M = N = 3$ , determinar la DFT 2D de  $g_1(x, y)$  para  $M = N = 9$  si se sabe que cumple con la siguiente expresión analítica:

$$F_1(u, v) = \begin{pmatrix} \frac{1}{2} & 2 & 3 \\ 2 & 2 & 3 \\ 3 & 3 & 3 \end{pmatrix}; \quad g_1(x, y) = f_1(x/3, y/3) \cdot \exp\left[j \frac{8\pi}{3}(x + y)\right].$$

**Pregunta 5** (4 puntos)

Dada la imagen  $f(x, y)$  descrita en la Figura 2 y la máscara  $w(x, y)$ :

(x,y)	0	1	2	3	4	5	6	7	8
0	98	72	95	113	87	145	66	106	86
1	104	75	105	107	95	140	77	130	139
2	107	77	93	115	102	160	167	196	160
3	110	107	132	175	168	164	127	138	80
4	173	173	172	141	114	148	72	114	73
5	140	98	107	116	84	147	72	120	78
6	103	87	90	122	84	145	76	119	85
7	95	106	58	131	81	141	88	81	111
8	106	102	73	133	81	140	85	87	149

Figura 2: Imagen de interés  $f(x, y)$ .

$$w(x, y) = \frac{1}{16} \begin{pmatrix} 1 & 2 & 1 \\ 2 & 4 & 2 \\ 1 & 2 & 1 \end{pmatrix};$$

- a) Identificar la máscara  $w(x, y)$ . Luego, descomponerla en máscaras 1D a partir de su propiedad de **separabilidad**. Finalmente, a partir de su descomposición, filtrar  $f(x, y)$  en las siguientes ubicaciones. Asumir resolución de intensidad infinita:

$$(x, y) = \{(2, 2), (4, 5)\}.$$

- b) De acuerdo con el método de Canny para detección de bordes, determinar  $f_N(x, y)$  para las siguientes ubicaciones. Asumir  $g(x, y)$  como un filtro promedio de orden 9, derivadas basadas en **forward difference** y resolución de intensidad infinita:

$$(x, y) = \{(2, 3), (3, 5), (5, 6)\}.$$

Profesor del curso: Renán Rojas G.

San Miguel, 07 de diciembre del 2017.

## **Información Extra:**

- **Detector de bordes de Canny**

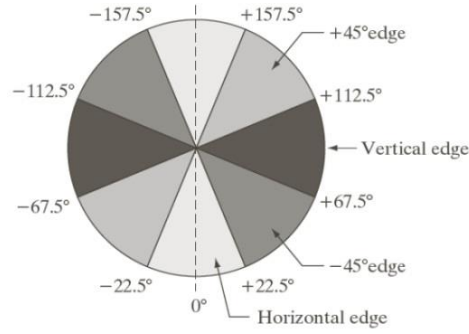


Figura 3: Detector de bordes de Canny: rangos de orientación de gradientes.

$$\begin{aligned}
 d(x_0, y_0) = d_1 &\rightarrow \text{vecinos: } (x_0 - 1, y_0); (x_0 + 1, y_0) \\
 d(x_0, y_0) = d_2 &\rightarrow \text{vecinos: } (x_0 - 1, y_0 - 1); (x_0 + 1, y_0 + 1) \\
 d(x_0, y_0) = d_3 &\rightarrow \text{vecinos: } (x_0, y_0 - 1); (x_0, y_0 + 1) \\
 d(x_0, y_0) = d_4 &\rightarrow \text{vecinos: } (x_0 + 1, y_0 - 1); (x_0 - 1, y_0 + 1)
 \end{aligned}$$

$$f_N(x, y) = \begin{cases} |\nabla f_s(x, y)|, & |\nabla f_s(x, y)| > \text{mag. de grad. de vecinos} \\ 0, & \text{otros} \end{cases},$$

$$f_{NH}(x, y) = \begin{cases} 1, & f_N(x, y) \geq T_H \\ 0, & \text{otros} \end{cases},$$

$$f_{NL}(x, y) = \Lambda(x, y) - f_{NH}(x, y),$$

$$\Lambda(x, y) = \begin{cases} 1, & f_N(x, y) \geq T_L \\ 0, & \text{otros} \end{cases},$$

- **Método de Otsu**

$$C_1 \in \{0; k\}; C_2 \in \{k + 1; L - 1\};$$

$$P_1(k) = \sum_{i \in C_1} p_i; \quad P_2(k) = \sum_{i \in C_2} p_i;$$

$$m(k) = \sum_{i \in C_1} i \cdot p_i; \quad m_g = \sum_{i=0}^{L-1} i \cdot p_i$$

$$\sigma_B^2(k) = \frac{[m_g P_1(k) - m(k)]^2}{P_1(k)[1 - P_1(k)]}$$

- **Morfología Matemática**

$$Q_I \ominus H = \{z \mid (H)_z \subseteq Q_I\}; \quad Q_I \oplus H = \{z \mid (\hat{H})_z \cap Q_I \neq \emptyset\};$$

$$(Q_I)_z = \{p + z; \quad p \in Q_I\}; \quad \hat{Q}_I = \{w \mid w = -p; \quad p \in Q_I\}.$$